超声辅助过滤技术对 M174 耐热铝合金脱气效果的 影响

万政晓¹,李军文¹

(1. 大连交通大学, 辽宁大连, 116028)

*通讯作者: 李军文, 男, 教授, 工学博士。E-mail: joelee0527@163.com

摘 要:通过控制 M174 合金的氢含量对于航空航天的领域应用至关重要,然而传统的除气方法(气泡浮游法)效率低下不能满足实际需求。本研究提出一种新型超声辅助混合过滤系统,创新性的将超声场与陶瓷过滤器相结合,并通过改变超声波功率(1000-3000w),过滤器孔隙率(10-20ppi)、堆叠构型(1-3 层)来确定最优工艺参数,以实现协同熔体净化。通过实验 20 kHz/3000W 超声波与三层陶瓷过滤器(20 ppi)的净化效果最好,铸锭的密度指数仅为 0.078.显示出良好的净化效果。该工作建立了超声-过滤协同的"工艺-结构-性能"关联机制,为高端航空航天合金制造提供了可扩展的解决方案。

关键词:铝合金;超声波;陶瓷过滤器;除气

Study on the Degassing Behavior and Mechanism of M174 Heat-Resistant Aluminum Alloy Melt by Ultrasonic-Electromagnetic Composite Physical Field

WAN Zheng-xiaoi ¹, LI Jun-wen¹

(1. Dalian Jiaotong University, School of Materials Science and Engineering, Liaoning Dalian, 116028, China)

Abstract: Controlling the hydrogen content of M174 alloy is essential for aerospace applications, but the traditional degassing method (bubble floating) is inefficient and cannot meet the actual needs. In this study, a new type of ultrasonic-assisted hybrid filtration system was proposed, which innovatively combined the ultrasonic field with the filter screen, the straight-bore filter and the ceramic filter, and determined the optimal process parameters by changing the ultrasonic power (1000-3000W), filter porosity (10-20ppi) and stacking configuration (1-3 layers) to achieve synergistic melt purification. Through experiments, 20 kHz/3000W ultrasonic wave and double-layer ceramic filter (20 ppi) had the best purification effect, and the density index of the ingot was only 0.078. This work establishes a "process-structure-performance" correlation mechanism of ultrasonic-filtration synergy, which provides a scalable solution for high-end aerospace alloy manufacturing.

Keywords: Aluminum alloy; Ultrasonic; ceramic filters; Degassing

1 前言

航空航天领域对轻量化、耐高温材料的迫切需求,推动了先进铝合金的发展。M174 铝合金是一种通过添加 Cu、Ni、Mg 元素强化的高性能铸造铝硅(Al-Si)合金,因其卓越的热稳定性和抗疲劳裂纹扩展性能脱颖而出。专为需承受高温稳定性和优异抗疲劳性能的航空航天部件设计。然而传统

除气方法(如惰性气体旋转除气)受限于效率与可扩展性,通常难以将熔体氢含量降至航空航天高完整性铸件要求的 0.1 mL/100g Al 以下。

近年来,超声波熔体处理技术(USMT)通过空化效应促进气泡形核与合并,展现出优异的除气动力学特性,但超声波场与过滤系统的协同净化机制尚未明确,尤其在多级孔隙结构优化方面缺乏系统研究。气孔缺陷会显著降低铸件的力学性能与抗

疲劳特性。

本文以 M174 耐热铝合金为研究对象,系统开展了超声波与过滤器协同对熔体除气行为的影响实验,分析了超声功率、过滤器孔隙率、堆叠构型等关键参数对除气效果的作用规律,此项工作为解决夹杂缺陷提供了可扩展的解决方案,为高端航空航天合金制造奠定了技术基础。

2 试验过程

本实验研究合金为 M174 耐热铝合金, 由纯铝锭(含量 99%) 与各种中间合金配比而成。其元素比例如表 2.1 所示;

表 2.1 元素比例

Tab. 1 Element proportions

| 合金牌 | 化学成分 (wt.%), 余量为 Al | | | | | |
|------|---------------------|-----|-----|-----|-----|-----|
| 号 | Si | Cu | Mg | Ni | Fe | Mn |
| M174 | 12 | 4.0 | 0.6 | 2.0 | 0.7 | 0.3 |

将配制好的 M174 铝合金置于型号为 SG-2 的低频电阻炉中进行熔炼,其熔炼温度为 700℃。在熔炼过程中用石磨棒轻轻搅拌,使其成分均匀化。在合金完全熔化后,保持恒温 30 分钟以确保成分均匀。

之后进行超声(UST)与过滤器协同处理,将超声水平放置,并放置泡沫陶瓷过滤器,改变过滤器孔隙率、堆叠构型。各阶段处理的具体参数见表2.2。

表 2.2 实验条件与参数

Tab. 1 Experimental conditions and parameters

| 过滤器种类 | 变量参数 | 值 | |
|---------|----------------|------------|--|
| | 超声功率 | 0, 1000, | |
| | (\mathbf{W}) | 2000, 3000 | |
| | 超声频率 | 20 | |
| _ \ | (kHz) | 20 | |
| 泡沫陶瓷过滤器 | 过滤器孔隙 | 15, 20, 30 | |
| | 率(ppi) | | |
| | 堆叠构型(n) | 1, 2, 3 | |
| | 超声处理时 | 20 | |
| | 间 (s) | | |

将其浇筑坩埚中并分为两组凝固,其中一组在常温常压下自然凝固,另一组低压环境下进行减压测试(RPT),由于气体在低压情况下膨胀,更有利于观察气孔分布,因而在 RPT 的情况下铸锭的

气孔较大。

待铸锭完全凝固后,采用密度天平按照阿基米 德原理分别测量 A、B 两组铸锭的密度。并进一步 计算铸锭的密度指数,其计算公式如下所示(2.1):

$$D_i = \frac{D_a - D_v}{D_a} \times 100\% \tag{2.1}$$

式中: D_i 表示铸锭的密度指数;

 $D_{\rm a}$ 表示在常温常压条件下凝固的铸锭的密度;

 D_{ν} 指在 RPT 条件下凝固的铸锭的密度。

可由公式可知在相同的环境下,其密度指数越小,表明净化效果越好。

随后将铸锭打磨成标准尺寸样式,观察其宏观 气孔率和微观组织。

3 试验结果及分析

3.1 泡沫陶瓷过滤器孔隙率、层叠结构对除气的影响

如图 3.1 所示,在不同孔隙密度(0、10、15、20 ppi)条件下陶瓷泡沫过滤器的密度指数。

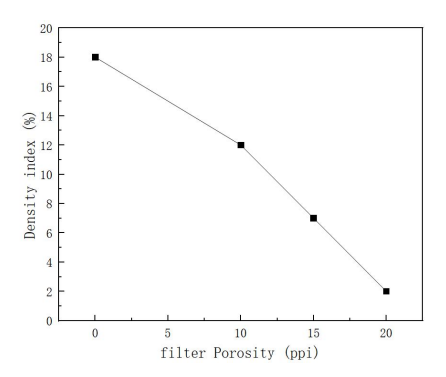


图 3.1 不同孔隙密度(0、10、15、20 ppi)条件 下陶瓷泡沫过滤器的密度指数

如图所示,氢含量从基准值 0.18 mL/100g Al 降至 10 ppi 时的 0.15 mL/100g Al,而 20 ppi 过滤器可进一步降至 0.09 mL/100g Al。此 40%此 40%的提升源于更小孔径和曲折因子。在 20ppi 的情况下平均孔径仅为 0.8 mm,这进一步使气泡-界面接触面积增加 2.3 倍有利于降低氢含量的降低。同时曲折因子的增大使得熔体滞留时间延长 52%。τ=3.2(20 ppi)对比τ=2.1(10 ppi)进一步降低了氢含量。

如表 3.2 所示,在不同层叠结构(0、1、2、3) 条件下陶瓷泡沫过滤器的密度指数。

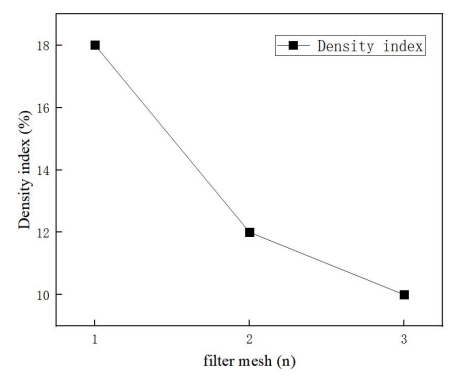


图 3.2 不同不同层叠结构(0、1、2、3)条件下陶瓷泡沫过滤器的密度指数。

如图 3.2 所示多层过滤 (1-3 层) 实现杂质分级去除,单层过滤器使 \geq 5 μ m 夹杂物密度降至 80%,氢含量达 0.20. mL/100g Al。而三层堆叠进一步将夹杂物降至 99%,氢含量达 0.11 mL/100g Al。单孔层捕获宏观夹杂物(\geq 50 μ m),多孔层截留微气泡(5-20 μ m)。

3.2 超声波功率的影响

如图 3.3 所示,在不同超声功率 0、1000w、2000w、3000w条件下陶瓷泡沫过滤器的密度指数。

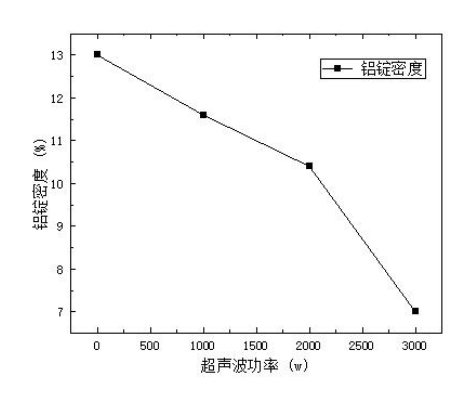


图 3.3 不同超声功率 0、1000w、2000w、3000w 条件下陶瓷泡沫过滤器的密度指数

实验表明,在 3000w 的情况下其密度指数最低。其主要受以下机理影,首先是空化阈值效应,在 2000 W 以下声压(<1.8 MPa)不足以突破铝熔体空化阈值,限制气泡形核。在 2000-3000 W 时声压>2.0 MPa,气泡密度呈指数增长。其次是氧化膜破碎阈值,在临界功率(2500 W)产生>150 m/s 微射流,在 3000w 时流速最快。因而超声功率为 3000w 时,密度指数最低。

3.3 宏观气孔形貌及微观组织分析

图 3.4 展示了不同孔隙率、层叠结构、超声功率下,耐热铝合金铸锭的宏观气孔形貌。其中图 a

为在常温常压下自然凝固的铸锭。由图可知,氢气孔与缩孔共存于铸锭中,特征差异显著其中氢气孔主要集中于凝固界面上部,气孔尺寸向界面方向递增(200-800 μm),且形貌趋近球形且内壁光滑,图 b 所示其形成机制是由于在慢冷速条件下氢在固液界面前沿富集,促进气泡形核生长,因而形成如上分布。缩孔则位于铸锭芯部,尺寸细小(50-200 μm)其为不规则形状伴枝晶状粗糙内壁,这是由于铸型快速凝固收缩所致,如图 c 所示。

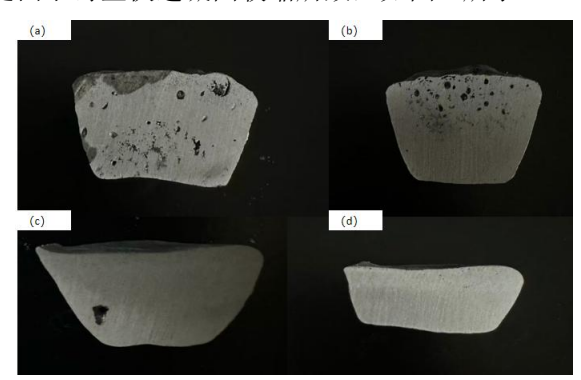


图 3.4 不同孔隙率、层叠结构、超声功率下, 耐热铝合金铸锭的宏观气孔形貌

通过对图示中的气泡进一步分析发现得出,在超声功率为3000w,孔隙率为20ppi,层叠结构为3时,其铸锭宏观气泡最少,如图d所示。

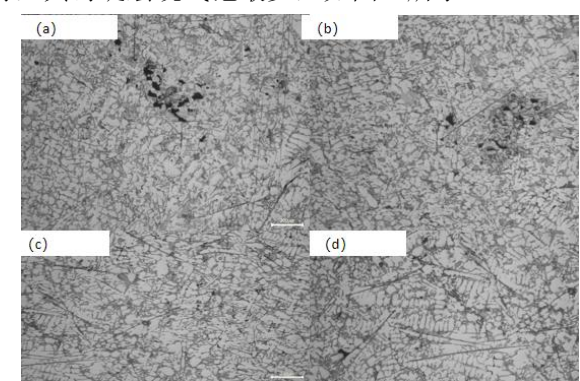


图 3.4 不同孔隙率、层叠结构、超声功率下,耐热铝合金铸锭的微观组织

由图 3.4 可知基体枝晶状 α -Al 相,二次枝晶臂粗大。共晶硅层片/针状结构形成互联网络。缺陷晶间暗区(5-25 μ m),为缩孔(I 型)与含气孔洞(II 型)。

其细化机制孔隙介导的局部晶粒细化如图 b 所示。孔隙附近晶粒尺寸(较基体区↓46.9%)。 共晶硅变质:纤维状形貌(长径比≈3)取代针状结构。其成因由于孔隙界面处冷速>10°C/s 抑制枝晶生长。缺陷形成路径 I 不规则形状带枝晶表面,由枝晶桥连孤立液相形成。II 型球状孔洞,氧化夹 杂辅助气泡形核所致。

3.4 过滤器孔隙率与超声场的协同机制

20ppi 过滤器使氢含量降低 40%源于双重机制,首先是界面面积放大小孔径使气泡-滤器接触面积增加 2.3 倍。滞留时间延长。再者是高曲折因子使熔体通过时间增加 52%,氢扩散更充分。同时多层堆叠的分级过滤机制进一步净化熔体。三层过滤器实现 99%夹杂物去除。

超声功率依赖的空化动力学在 3000~W(20 kHz)时,实现了空化阈值突破声压>2.0~MPa(铝熔体临界值)产生 $5.8\times10^4~气泡/cm^3$,破碎氧化膜至< $20~\mu$ m。加之声流效应。氢传输速度较纯扩散提升 6.8~G。

因而在最优工艺(3000 W + 20 ppi+三层堆叠)下,由于 氢含量降至 0.08 mL/100g Al(低于形核阈值)加之氧化膜破碎消除缩孔形核点,最终将消除 92%大气孔,进一步实现了熔体的净化。

4 结果或结论

- (1) 实验结果表明,在 3000 W/20 kHz 超声空 场与三层陶瓷过滤器(20 ppi) 耦合,较基准氢含量降低 55.6%,密度指数达 0.078。
- (2) 超声功率 3000 W 的情况下,氢含量下降 40%,在过滤器孔隙率 20 ppi 条件下,熔体滞留时间增加 52%(τ =3.2)夹杂物下降 99%堆叠 3 层的条件下分级去除效率>99.5%。

(3)该工作构建的"超声-过滤"协同平台为新一代可重复运载火箭提供可扩展解决方案,其揭示的机制为高完整性合金制造奠定理论基础。

参考文献:

- Eskin, G.I.(2017). Ultrasonic Treatment of Light Alloy Melts (2nd ed.). CRC Press.
- [2] Zhang, X.M., et al(2018). High-temperature fatigue behavior of M174 heat-resistant aluminum alloy. Acta Metallurgica Sinica, 54(8), 1123-1132.[3] Li, C.G., et al.(2020). Quantitative characterization of tortuosity in ceramic foam filters. Foundry Technology, 41(5), 456-460.
- [3] Zhang, L., et al.(2021). Hierarchical filtration design for inclusion removal in Al-Si alloys. Journal of Materials Processing Technology, 295, 117152.
- [4] ASTM F1119-13(2018). Standard Test Method for Hydrogen Content of Aerospace Alloys. ASTM International.
- [5] W. Zhou, J.W. Li, J.F. Jiang, Z.C. Gai, X.M. Han, R.G. Guan. Effect of electromagnetic stirring on degassing and mechanical properties of M174 heat-resistant alloy[J]. J. Mater. Res. Technol. 2024, 29: 3824-3831.
- [6] Wang, Q., et al.(2020). Synchrotron X-ray tomography of pore formation in Al-Cu-Ni alloys. Acta Materialia, 188, 41-53
- [7] Mirihanage, W.U., et al(2019). Acoustic streaming in molten aluminum under ultrasound. Ultrasonics Sonochemistry, 58, 104648.